

بررسی آزمایشگاهی جوش اکسی استیلن و قوس الکتریکی با الکترودهای: فولادی، برنجی و برنزی

بهمن شروانی نبار*

سعید انقامی مایان (کارشناس ارشد)

ازرگ صادقی (دانشیار)

گروه مهندسی عمران، دانشکده فنی و مهندسی، دانشگاه شهید عدنی آذربایجان، تبریز

مهمنسی عمران شرف، (ایران ۱۴۰) دری ۲ - ۳، شماره ۲ / ۱۰ ص. (پژوهشی) ۱۱۰ - ۱۱۱ (۱۴۰)

با پیشرفت صنعت جوشکاری و اهمیت جا لوگیری از خوردگی فلز جوش در شرایط محیطی مختلف، بررسی کارایی روش‌های مختلف جوشکاری با انواع فاز پرکننده، امری اجتناب ناپذیر خواهد بود. در پژوهش حاضر، به صورت آزمایشگاهی مقاومت و کیفیت جوشکاری با استفاده از سه الکترود: برنجی، برنزی و فولادی با دو فرایند جوشکاری قوس الکتریکی و اکسی استیلن بررسی شده است. در این راستا، ابتدا به کمک آزمون کشش، مشخصات مصالح فلز پایه تعیین و پس از آن، با تهیه، ساخت و جوشکاری ۴۶ نمونه‌ی آزمایشگاهی، رفتار انواع جوش در سه حالت بارگذاری: کششی، برشی و خمشی بررسی شده است. بررسی نتایج آزمایش‌ها نشان داد که با تقریب قابل قبولی می‌توان مقاومت جوش در قوس الکتریکی با الکترود فولادی را در تمام ضخامت‌ها، یکسان لحاظ کرد؛ همچنین می‌توان از تأثیر ضخامت در مقاومت کششی جوش صرف نظر کرد. این در حالی است که ضخامت قلعه، تأثیر قابل توجهی در کیفیت جوشکاری اکسی استیلن دارد. نتایج آزمایش‌ها نیز نشان داد که جوشکاری با قوس الکتریکی با الکترودهای فولادی در انواع نمونه‌ها، مقاومت‌های بهتری نسبت به سه نوع جوش دیگر دارد و بعد از آن، مقاومت جوشکاری با قوس الکتریکی با الکترود فسفر برنز در رتبه‌ی دوم است.

b.shervani@azaruniv.ac.ir
Shahab.ss349@yahoo.com
a.sadeghi@azaruniv.ac.ir

واژگان کلیدی: جوش اکسی استیلن، جوش قوس الکتریکی، الکترود برنزی، الکترود برنجی، الکترود فولادی.

۱. مقدمه

قوس الکتریکی، جوشکاری زیر پودری، جوشکاری با گاز محافظه و جوشکاری با اکسی استیلن) با سیم جوش برنجی و برنزی، امری اجتناب ناپذیر است.^[۱] فلز برنج، آلیاژ مس است که از مس و روی و گاهی اوقات از قلع و مقداری سرب تشکیل می‌شود. برنج را می‌توان با الکترودهای گرافیتی و الکترود معمولی جوشکاری کرد. در جوشکاری با الکترود گرافیتی از آلیاژ برنز یا از آلیاژی مشابه آلیاژ فلزی، که باید جوش داده شود، استفاده می‌شود. در جوشکاری برنج از جریان معکوس استفاده می‌شود و فاصله‌ی الکترود تا قطعه کار باید حدود ۵ تا ۶ میلی‌متر باشد. هاگنس^۲ و همکاران^[۲] جوشکاری فلز برنج با جریان برق را بررسی کردند و دریافتند که برنج در مقابل زنگ زدن و پوسیدن مقاوم است؛ ولی چون فلز روی در دمایی نزدیک دمای ذوب برنج، تبخیر می‌شود، بخار شدن فلز روی و تولید گاز سسمی در محیط کار به همراه تیره شدن محل جوشکاری به دلیل اکسید حاصل، جوشکاری فلز برنج با الکترود فلزی با مشکل رو برو می‌شود.

ژانگ^۳ و همکاران^[۴] در بررسی رفتار اتصال جوشی آلومینیوم به فولاد کالوانیزه دریافتند که با تغییر مقدار حرارت حوضچه‌ی مذاب، مقاومت جوش و ترکیب شیمیایی ناحیه‌ی جوش متفاوت خواهد شد.

در منطقه‌ی تقیده و تحت تأثیر حرارت HAZ^۱، ساختار اولیه‌ی فولاد تغییر پیدا می‌کند و متناسب با جنس فلز جوش و میزان واکنش پذیری آن با فلز پایه و سرعت سرد شدن آن، شکل پذیری و قابلیت ترک خوردگی جوش تحت تأثیر قرار می‌گیرد. میزان تغییرات خواص مکانیکی جوش و کیفیت واکنش جوش با فلز پایه به پارامترهای متعددی از شرایط جوشکاری، مانند: روش جوشکاری، دمای محیط، مدت زمان جوشکاری، سرعت سرد شدن و ضخامت قطعه و نوع درز جوش بستگی دارد. تعدد پارامترهای دخیل در بحث مقاومت جوش منجر شده است که یکی از متدائل ترین مذکور از خوابهای مختلف سازه‌ها، خرابی جوش در ناحیه‌ی تقیده اتصال باشد، که بیان‌گر اهمیت بررسی خواص جوش تحت بارگذاری‌های مختلف خواهد بود. در راستای بررسی خواص جوش، کارایی، سازگاری و مقاومت فرایندهای جوشکاری در انواع مصالح متدائل بررسی شده است. با توجه به قابلیت زنگ زدن جوش در سازه‌های در معرض رطوبت،^[۵] بررسی کارایی فرایندهای جوشکاری (جوشکاری

* نویسنده مسئول

تاریخ: دریافت ۱۰/۸/۱۴۰۰، اصلاحیه ۱۲/۲۱، پذیرش ۱۴۰۱/۲/۵

DOI:10.24200/J30.2022.59572.3061

از شعله‌ی اکسیدکننده استفاده شود؛ زیرا فلز ذوب شده در محل جوش، از نوع متخلخل، اکسید شده و شکننده خواهد بود. همچنین ایشان تأکید کرده‌اند که هر چند جوشکاری اکسی استیلن در صنایع کوچک، کاربرد فراوانی دارد، اما مطالعات کمی در مورد آن انجام شده است.

کورک^{۱۴} و همکاران^(۲۰۲۱)^[۱۴] اتصال عناصر فلزی را به روش: جوشکاری قوس الکتریکی با الکترود تنگستن (TIG)، جوشکاری قوس الکتریکی با گاز محافظه فعال (MAG)^{۱۵} و جوشکاری قوس الکتریکی با الکترود پوشش دار بررسی کردند و آزمایش‌هایی برای تعیین خواص مکانیکی به ویژه سختی و استحکام اتصال‌ها در برابر بار و دمای بهره‌برداری انجام دادند و دریافتند که سه روش اخیر از نظر استحکام، اختلاف جزئی با یکدیگر دارند و تقریباً یکسان عمل می‌کنند.

در پژوهش حاضر، به منظور بررسی مقاومت، کارایی و تطابق روش‌های مختلف جوشکاری با انواع فلز پرکننده، چهار نوع جوشکاری (ترکیبی از سه نوع الکترود و دو نوع فرایند جوشکاری) بررسی شده است. فرایندها و الکترودهای بررسی شده، شامل: جوشکاری اکسی استیلن با الکترود برنجی، جوشکاری قوس الکتریکی با الکترود فولادی و جوشکاری با الکترود برنزی (فسفربرنزی) با دو فرایند قوس الکتریکی و اکسی استیلن هستند. در این راستا، ابتدا با انجام آزمایش کشش استاندارد، مشخصات مصالح فلز پایه تعیین شده است. پس از آن، با تهیه، ساخت و جوشکاری ۴۶ نمونه‌ی آزمایشگاهی، رفتار انواع جوش در سه حالت: بارگذاری کشش، برش و خمش بررسی شده است.

۲. مواد و روش‌ها

۱.۲. معرفی مدل‌های آزمایشگاهی

نحوه‌ی نامگذاری نمونه‌های آزمایشگاهی در جدول ۱، مشخصات الکترودهای مصرفی در جدول ۲ و مواد تشکیل دهنده‌ی آنها در جدول ۳ ارائه شده‌اند. به منظور بررسی مشخصات مکانیکی فلز پایه، سه آزمایش کشش فولاد مطابق استاندارد ASTM E8/E8M^{۱۵}، انجام شده است، که نتایج آن در جدول ۴ ارائه شده است. مطابق نتایج به دست آمده، میانگین تنش تسلیم و تنش نهایی فلز پایه به ترتیب برابر ۲۷۹۰ و ۴۰۷۰ کیلوگرم بر سانتی‌مترمربع بوده است.

مطابق اهداف پژوهش، رفتار جوش در سه حالت بارگذاری کششی، برشی و خمشی و مطابق جزئیات آینه‌های جوشکاری ساختمانی ایران^[۱۶]، بررسی شده است. مطابق شکل ۱، در بررسی مقاومت جوش تحت کشش، قطعات فولادی به صورت مستطیلی به ابعاد 50×250 میلی‌متر و در 3 ضخامت (t) مختلف: 3 ، 5 و 8 میلی‌متر لحاظ شده‌اند. در این حالت، 24 نمونه برای آزمون کشش اماده شدند، که شامل: 3 ضخامت ورق و 4 روش جوشکاری متفاوت بوده و از هر نمونه، 2 مورد تهیه شده است. مطابق شکل ۲، در تعیین مقاومت جوش تحت برش، قطعات فولادی به صورت مستطیلی به ابعاد 40×200 میلی‌متر و در 2 ضخامت

جدول ۱. نامگذاری نمونه‌های آزمایشگاهی.

نام نمونه‌ها	فرایند جوشکاری و نوع الکترود
A۱ و A۲	اکسی استیلن با فسفربرنز
B۱ و B۲	قوس الکتریکی با فسفربرنز
C۱ و C۲	قوس الکتریکی با الکترود فولادی
D۱ و D۲	اکسی استیلن با برنج

لین^{۱۷} و همکاران^(۲۰۱۰)^[۱۷] نیز در بررسی تطابق روش جوشکاری قوسی با الکترود تنگستنی نتیجه گرفتند که در فرایند اخیر، مصالح فولادی بدون ذوب باقی می‌مانند و ذوب شدن مصالح آلومینیومی منجر به ایجاد پوششی بر روی فولاد می‌شود.

همچنین اورت^{۱۸} و همکاران^(۲۰۱۵)^[۱۸] در بررسی جوشکاری فلزی، دریافتند که بهترین روش جوشکاری مس با جوش گاز اکسیژن و کاربید است، ولی می‌توان جوشکاری را با قوس الکتریکی نیز انجام داد. در روش اخیر، ورق‌های مس را مانند ورق‌های فولادی برای جوشکاری آماده می‌کنند، ولی چون قابلیت هدایت حرارت مس زیاد است، باید مقدار آمپر را اندکی بیشتر در نظر گرفت و بهتر است که همیشه با جریان مستقیم جوشکاری را انجام داد. راویه‌ی الکترود نسبت به قطعه‌ی کار

مانند جوشکاری فولاد است و طول قوس باید حدود 15 تا 15 میلی‌متر باشد.

در همان سال، لیائو^{۱۹} و همکاران^(۲۰۱۵)^[۱۹] نیز پس از بررسی جوشکاری آلیاژهای فولاد بیان کردند که برای مصارف در صنعت، فولاد را با مواردی، از قبیل: منگنز، نیکل، تنگستن و کرم ترکیب می‌کنند و می‌توان آنها را با قوس الکتریکی به هم جوش داد؛ ولی جوشکاری آنها به مراتب سخت‌تر از آهن است. زیرا در بعضی موارد، آلیاژ اصلی فولاد در نتیجه‌ی حرارت زیاد تجزیه و یا باعث سخت شدن قسمت گرم شده می‌شود. این امر منجر به ایجاد ترک در سطح جوشکاری خواهد شد. ضمناً گل جوش و گاز حاصل از سوختن پوسته‌ی الکترود در گرده‌ی جوشکاری باقی می‌ماند و باعث کاهش استحکام جوشکاری می‌شود.

بدود و موموجیمو^{۲۰} در حرارت ورودی در خواص مکانیکی فولاد کم کربن را با استفاده از دو نوع جوشکاری اکسی استیلن و قوس الکتریکی با الکترود پوشش دار بررسی کردند و دریافتند که با افزایش گرمای ورودی، استحکام کششی و سختی کاهش می‌باید، ولی استحکام جوش در مقابل آزمایش ضربه افزایش می‌باید.^[۲۰]

سویتزر^{۲۱} و همکاران^(۲۰۱۸)^[۲۱] طی آزمایش‌هایی در بررسی تأثیر نوع فلز پرکننده در اتصال بین سیلیکون برنز و فولاد ضدزنگ با جوشکاری قوس الکتریکی با الکترود تنگستن (TIG) دریافتند که استحکام و شکل پذیری اتصال مذکور هنگام استفاده از سیلیکون برنز به عنوان فلز پرکننده، نسبت به حالتی که از فولاد ضدزنگ برای فلز پرکننده استفاده می‌شود، افزایش می‌باید.

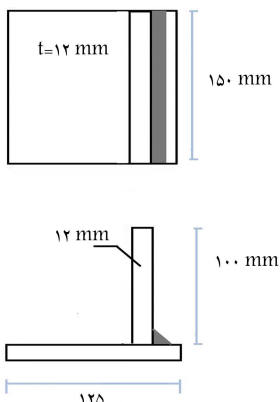
سیوی جان^۹ و همکاران^(۲۰۲۰)^[۹] بر اساس نتایج یک برنامه‌ی آزمایشگاهی که انجام داده بودند، پیشنهاد کردند که در صورت لزوم، جوش اکسی استیلن را می‌توان به عنوان یک جایگزین برای جوشکاری با قوس الکتریکی در نظر گرفت. این پیشنهاد در رابطه با تعمیرات اضطراری، جوشکاری در مناطق دورافتاده و مناطقی با عدم دسترسی به منابع الکتریکی است.

چنگ^{۱۰} و همکاران^(۲۰۲۰)^[۱۰] اتصال مس به فولاد ضدزنگ را با دو روش جوشکاری قوس الکتریکی با الکترود تنگستن (TIG)^{۱۱} و جوشکاری قوس الکتریکی با گاز محافظه خنثی (MIG)^{۱۲} و با استفاده از سه نوع فلز پرکننده (فلز بر پایه‌ی مس، فلز بر پایه‌ی اهن - نیکل و فلز بر پایه‌ی آهن) بررسی کردند و دریافتند که بیشینه‌ی استحکام کششی با استفاده از فلز پرکننده بر پایه‌ی مس به دست می‌آید و همچنین اتصال اخیر، بیشترین تغییر شکل خمیری را نیز از خود نشان می‌دهد.

سینک^{۱۳} و همکاران^(۲۰۲۱)^[۱۳] در نوشتاری با مرور نوشتارهای پیشین به کاربردهای جوش اکسی استیلن، مانند برش فلزات و آلیاژها در سیاری از صنایع پرداختند، که با استفاده از مشغل اکسی استیلن به راحتی انجام بذیر است. از نتایج بیان شده در پژوهش مذکور آن است که خواص مکانیکی جوش به نوع شعله‌ی مورد استفاده برای جوشکاری بستگی دارد و برای جوشکاری عناصر فولادی نباید

جدول ۲. مواد تشکیل دهنده‌ی الکتروودهای مصرفی بر حسب درصد.

Sn	P	Si	Mn	C	Zn	Cu	Fe	جنس سیم جوش
-	٪ / ٪ ۲	٪ / ٪ ۴	٪ / ٪ ۵	٪ / ٪ ۸	-	-	٪ ۹	فولادی
٪ ۶ / ٪ ۸	٪ / ٪ ۴	-	-	-	-	٪ ۱۵	-	فسفر برنز
٪ / ٪ ۲	-	٪ / ٪ ۳	-	-	٪ ٪ ۹۹ / ٪ ۵	٪ ٪ ۶۰	-	برنجی



شکل ۳. ابعاد نمونه‌های آزمون جوش تحت خمیش.



شکل ۴. آماده سازی نمونه های کمتشی برای جوشکاری.

۲. آماده‌سازی و جوشکاری نمونه‌های آزمایشگاهی

مطابق جزئیات آینه نامه‌ی جوشکاری ساختمانی ایران، نشانه‌ی ۲۲۸ سازمان مدیریت و برنامه‌ریزی کشور^[۱۶] و استاندارد AWS D1/D1^[۱۷] قطعات از ورق پایه در کارگاه برش کاری نوست دستگاه گیوتین و مطابق ابعاد مذکور در شکل‌های ۱ تا ۳ برش داده شدند. به دلیل وجود پلیسها و لبه‌های تیز و بربند، قطعات بعد از برش، پلیسه‌گیری و سپس آماده‌ی جوشکاری شدند. در ادامه، جزئیات نمونه‌های آزمایشگاهی در هر ۳ حالت بارگذاری کششی، برشی و خمشی تشریح شده است.

۱.۲.۲. نمونه‌های آزمون کشش جوش

به منظور بررسی رفتار جوش تحت کشش، ۲۴ نمونه در کارگاه ساخته شدند و برای ایجاد جوش با نفوذ کامل در نمونه‌های آزمون کشش جوش مطابق شکل ۴، لبیه‌ی ورق‌های با ضخامت بزرگ‌تر و مساوی ۵ میلی‌متر به شکل ۷ برش داده شده است. در شکل‌های ۵ الی ۷، نمونه‌هایی از مدل‌های آزمایشگاهی مشاهده می‌شود.

۲.۲.۲. نمونه‌های آزمون دش، حوش

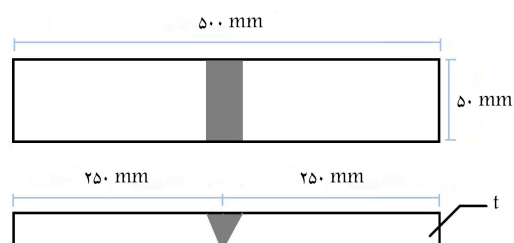
دایری درسی، رفتار حوش، تحت پشت، ۱۴ نمونه در کارگاه ساخته شدند. همان طور که

جدول ۳. مشخصات الکترودهای مصرفی.

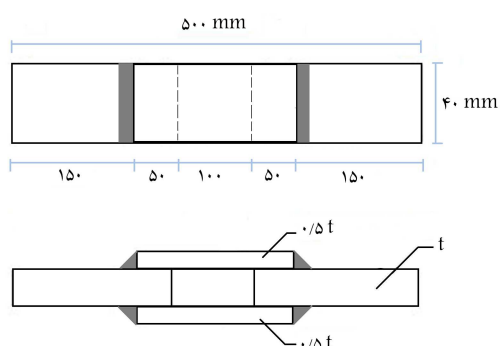
جنس	تشکشی نهایی	تنش تسليم	ازدیاد طول (%)
سیم جوش	(N/mm²)	(N/mm²)	(%)
فولادی	۵۵۰-۴۵۰	۳۶۰	۲۲
فسفر برنز	۴۵۰-۴۰۰	۳۰۰	۲۶
برنجی	۳۵۰-۳۰۰	۲۱۵	۲۱

جدول ۴. نتایج آزمایش آزمون کشش بر روی فلز پایه.

نمونه	مدول کشسانی (GPa)	تنش تسليم (kg/cm ²)	تنش نهایی (kg/cm ²)
۱	۱۹۶	۲۷۵۵	۴۰۵۱
۲	۱۹۱	۲۸۰۳	۴۰۷۷
۳	۲۰۶	۲۸۱۲	۴۰۸۱



شکل ۱. ابعاد نمونه‌های آزمون جوش تحت کشش.



شکل ۲. ابعاد نمونه‌های آزمون جوش تحت برش.

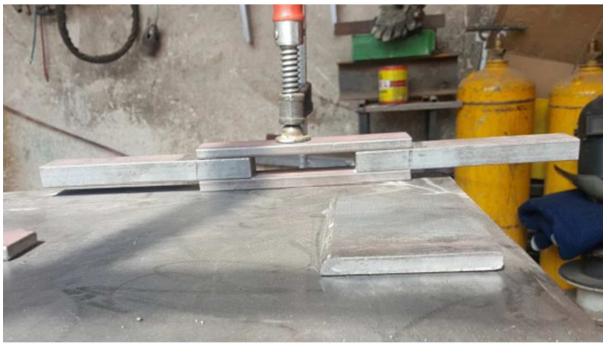
مختلف t برابر 10° و 20° میلی‌متر لحاظ شده‌اند. در این حالت، 14° نمونه در کارگاه ساخته شد. ضخامت ورق‌های اصلی برابر t (در 2° ضخامت مختلف 10° و 20° میلی‌متر) و ضخامت ورق‌های اتصال دهنده برابر $\frac{t}{4}$ است. نهایتاً، مطابق شکل 3° در تعیین مقاومت جوش تحت خمین، قطعات فولادی به کمک دو ورق به ابعاد $12 \times 125 \times 150$ میلی‌متر $\times 100^\circ \times 150^\circ$ میلی‌متر ساخته شدند و تحت بارگذاری قرار گرفتند. در این حالت نیز 8° نمونه در کارگاه ساخته شده است.



شکل ۸. ورقهای اصلی با ضخامت‌های 10 و 20 میلی‌متر برای آزمون برش جوش.



شکل ۵. نمونه‌ی کششی جوشکاری شده به روش اکسی استینلین با الکترود فسفر برزن.



شکل ۹. آماده‌سازی نمونه‌های برشی برای جوشکاری.



شکل ۶. نمونه‌ی کششی جوشکاری شده به روش اکسی استینلین با الکترود بربنج.



شکل ۱۰. جوشکاری نمونه‌های آزمون برش در حالت تخت.



شکل ۷. نمونه‌ی کششی جوشکاری شده به روش قوس الکتریکی با الکترود فولادی.

قبل ذکر شد، ورقهای اصلی به صورت مستطیلی به ابعاد 40×200 میلی‌متر و در 2 ضخامت مختلف t برابر 10 و 20 میلی‌متر آماده شدند. در این حالت، ضخامت ورقهای اتصال دهنده به ترتیب برابر 5 و 10 میلی‌متر بوده است، که جزئیات آن در شکل‌های 8 الی 12 مشاهده می‌شوند.



شکل ۱۱. نمونه‌های آماده شدهی آزمون برش با ورق اصلی 20 میلی‌متر.

۳.۲. نحوه انجام آزمایش‌ها و بارگذاری مدل‌ها

در پژوهش حاضر، نمونه‌ها توسط دستگاه کشش یونیورسال با سرعت $2/0$ میلی‌متر در هر دقیقه تا لحظه‌ی گسیختگی تحت بار قرار گرفتند. در دستگاه کشش یونیورسال، علاوه بر آزمون‌های کشش و فشار، آزمون‌های دیگری نیز مانند خمش، برش، قدرت اتصال و استحکام شکست انجام پذیر هستند. مطابق شکل‌های 17 الی 19 ، برای رسیدن به شرایط بارگذاری مورد نظر، باید فک‌های دستگاه و جهت قرارگیری نمونه‌ها متناسب با 3 نوع بارگذاری: کششی، برشی و خمشی تنظیم شود.

۳. بررسی نتایج آزمایشگاهی

۳.۱. بررسی نتایج نمونه‌های آزمون جوش تحت کشش

در بخش حاضر، نتایج ارزیابی مقاومت جوش تحت نیروی کششی بررسی شده است. تحت نیروی محوری کششی، مدد خرابی غالب بر رفتار تمامی نمونه‌ها، مطابق



شکل ۱۶. نمونه‌ی آماده شده برای آزمون خمش.



شکل ۱۲. نمونه‌های آماده شده آزمون برش جوش با ورق اصلی ۱۰ میلی‌متر.



شکل ۱۷. دستگاه یونیورسال در حال آزمون یکی از نمونه‌های کششی.



شکل ۱۳. ورق‌های با ضخامت ۱۲ میلی‌متر برای نمونه‌ی خمشی قبل از جوشکاری.



شکل ۱۴. آماده‌سازی نمونه‌های آزمون خمش برای جوشکاری با زدن پشت‌بند برای حفظ زاویه‌ی ۹۰ درجه بین قطعات فولادی.



شکل ۱۸. دستگاه یونیورسال در حال آزمون یکی از نمونه‌های برشی.



شکل ۱۵. جوشکاری نمونه‌های آزمون خمش در حالت تخت.

جدول ۵. مقاومت کششی نمونه‌های آزمون کشش با ورق به ضخامت ۳ میلی‌متر.

نمونه	فرایند جوشکاری و نوع الکترود	مقاومت کششی (kg/cm^2)
A1	اکسی استیلن با الکترود فسفر برزن	۱۵۱۱/۶۶
A2	اکسی استیلن با الکترود فسفر برزن	۱۴۷۱/۶۶
B1	قوس الکتریکی با الکترود فسفر برزن	۲۸۵۱/۶۹
B2	قوس الکتریکی با الکترود فسفر برزن	۲۴۵۷/۸۷
C1	قوس الکتریکی با الکترود فولادی	۳۶۰۶/۶۶
C2	قوس الکتریکی با الکترود فولادی	۲۵۹۳/۳۳
D1	اکسی استیلن با الکترود برجن	۲۲۵۴/۶۴
D2	اکسی استیلن با الکترود برجن	۲۰۴۱/۳۶

جدول ۶. مقاومت کششی نمونه‌های آزمون کشش با ورق به ضخامت ۵ میلی‌متر.

نمونه	فرایند جوشکاری و نوع الکترود	مقاومت کششی (kg/cm^2)
A1	اکسی استیلن با الکترود فسفر برزن	۹۵۴
A2	اکسی استیلن با الکترود فسفر برزن	۱۱۷۲
B1	قوس الکتریکی با الکترود فسفر برزن	۲۷۸۵/۲۹
B2	قوس الکتریکی با الکترود فسفر برزن	۲۸۲۵/۳۸
C1	قوس الکتریکی با الکترود فولادی	۳۴۰۲
C2	قوس الکتریکی با الکترود فولادی	۳۵۳۳
D1	اکسی استیلن با الکترود برجن	۲۶۱۸
D2	اکسی استیلن با الکترود برجن	۲۴۶۰

جدول ۷. مقاومت کششی نمونه‌های آزمون کشش با ورق به ضخامت ۸ میلی‌متر.

نمونه	فرایند جوشکاری و نوع الکترود	مقاومت کششی (kg/cm^2)
A1	اکسی استیلن با الکترود فسفر برزن	۱۲۰۶/۱۵
A2	اکسی استیلن با الکترود فسفر برزن	۱۱۰۵/۳۰
B1	قوس الکتریکی با الکترود فسفر برزن	۲۱۰۲/۶۳
B2	قوس الکتریکی با الکترود فسفر برزن	۲۳۱۰/۷۴
C1	قوس الکتریکی با الکترود فولادی	۴۰۵۸/۹۴
C2	قوس الکتریکی با الکترود فولادی	۴۰۸۲/۱۷
D1	اکسی استیلن با الکترود برجن	۱۵۲۳/۴۱
D2	اکسی استیلن با الکترود برجن	۱۹۸۳/۹۶

اکسی استیلن با الکترود برجنی، نمونه‌های با ضخامت ۸ میلی‌متر نسبت به نمونه‌های با ضخامت ۵ میلی‌متر، مقاومت کششی کمتری را نشان داده‌اند (جدول‌های ۶ و ۷). از مشاهدات عینی می‌توان گفت که در ضخامت‌های بیشتر نیاز به پیش‌گرمایش زیاد و افزایش قدرت مشعل وجود دارد و الکترود برجنی در حالت مذاب، سیار سیال است و از محیط خودچه خارج می‌شود. در این حالت تنظیم مذاب در خط جوش بسیار مشکل است، به طوری که در نمونه‌های برشی ۲۰ میلی‌متری، امکان جوشکاری و ساخت نمونه از بین رفته بود. در قطعات مذکور، به دلیل افزایش ضخامت قطعات و تسریع در انتقال حرارت، نیاز به افزایش بیش از حد پیش‌گرمایش و درجه مشعل بود و برنج مذاب، کاملاً روان بوده و از محیط خارج شده است. لذا در جدول ۸ ملاحظه می‌شود که جای مقاومت برشی نمونه‌های مذکور، خالی بوده و ساخت آنها ممکن نشده است.

در مورد جوشکاری قوس الکتریکی با الکترود فسفر برزن، مقاومت کششی در ضخامت ۸ میلی‌متر نسبت به ضخامت ۵ میلی‌متر، به طور متوسط حدود ۲۱٪



شکل ۱۹. دستگاه یونیورسال در حال آزمون یکی از نمونه‌های خمی.



شکل ۲۰. تعدادی از نمونه‌های کششی بعد از انجام آزمایش (با انواع مختلف جوش).

شکل ۲۰ است. نتایج آزمایش کششی بر روی ورق‌ها با سه ضخامت مختلف در جدول‌های ۵ الی ۷ ارائه شده‌اند. نمونه‌های C (که با الکترود فولادی و به روش قوس الکتریکی جوشکاری شده‌اند)، مقاومت کششی بیشتری نسبت به بقیه نمونه‌ها از خود نشان داده‌اند. و بعد از آن، جوش با قوس الکتریکی با الکترود فسفر برزن مقاومت کششی بهتری نشان داده‌اند.

در جوشکاری اکسی استیلن مشاهده شد که استفاده از الکترود برجنی، نتایج بهتری نسبت به استفاده از الکترود فسفر برزن دارد. از طرفی، با تقریب قابل قبولی می‌توان مقاومت جوش در قوس الکتریکی با الکترود فولادی را در تمام ضخامت‌ها یکسان لحاظ و از تأثیر ضخامت در مقاومت جوش صرف نظر کرد. ولی ضخامت قطعه، تأثیر قابل توجهی در کیفیت جوشکاری اکسی استیلن دارد.

تأثیر نوع فرایند جوشکاری در مقاومت کششی اتصال‌ها، بسیار بیشتر از تأثیر ضخامت نمونه‌ها بوده است. با اطمینان می‌توان گفت که از لحاظ مقاومت کششی، جوشکاری قوس الکتریکی با الکترود فولادی نسبت به بقیه فرایندها، در رتبه‌ی اول قرار دارد. جوشکاری قوس الکتریکی با الکترود فسفر برزن در رتبه‌ی دوم، جوشکاری اکسی استیلن با الکترود برجنی در رتبه‌ی سوم و جوشکاری اکسی استیلن با الکترود فسفر برزن در رتبه‌ی چهارم قرار دارد. در هر کدام از فرایندها، در ضخامت‌های ۳، ۵ و ۸ میلی‌متر، تقاضه‌هایی در مقاومت کششی (تشنهای گسیختگی) ملاحظه می‌شود. در بیشتر نمونه‌ها، اختلاف کم بوده یا با افزایش ضخامت، مقاومت افزایش یافته است. در دو مورد، کاهش قابل ملاحظه‌ی وجود دارد، که با توجه به بازرسی چشمی نمونه‌های آزمایش شده، توضیحات به این شرح داده می‌شود: در مورد جوش



شکل ۲۱. تشکیل ترک و رشد آن در روی خط جوش در نمونه‌ی برشی.



شکل ۲۲. نمونه‌ی برشی با جوش اکسی استیلن و الکترود برنجی (بعد از انجام آزمون).



شکل ۲۳. یکی از نمونه‌های برشی با ضخامت ۱۰ میلی‌متر بعد از انجام آزمون.

گسترش ترک از عمق به سطح آن مطابق شکل ۲۱ گسیختگی نهایی رخ داده است.

۳. بررسی نتایج نمونه‌های آزمون جوش تحت خش

در شروع آزمایش خمشی، یکی از نمونه‌های خمشی تحت فشار له شده و جوش شکسته است و کیفیت آن بعد از مشاهده قسمت شکسته شده خط جوش با درجه‌بین بررسی شده است (شکل ۲۴).

برای له کردن نمونه‌های خمشی از فک‌های مخصوص استفاده شده است. بیشترین نیرو برای له کردن نمونه‌های خمشی با جوش قوس الکتریکی با الکترود فولادی حاصل شده است. در این جا نیز الکترود فسفر برنز با فرایند قوس الکتریکی در رتبه‌ی دوم قرار گرفته است.

با بررسی خط جوش‌های شکسته شده مشاهده شد که جوش قوس الکتریکی با الکترودهای فولادی و فسفر برنز به ترتیب در کیفیت اول و دوم قرار دارند. اما

جدول ۸. مقاومت برشی نمونه‌های آزمون برش با ورق اصلی به ضخامت ۲۰ میلی‌متر.

نمونه	فرایند جوشکاری و نوع الکترود	مقاومت کششی (kg/cm^2)
A ۱	اکسی استیلن با الکترود فسفر برنز	۱۸۵۳/۶۴
A ۲	اکسی استیلن با الکترود فسفر برنز	۱۶۶۳
B ۱	قوس الکتریکی با الکترود فسفر برنز	۲۱۵۷/۸۱
B ۲	قوس الکتریکی با الکترود فسفر برنز	۲۰۹۴/۲۷
C ۱	قوس الکتریکی با الکترود فولادی	۵۵۵۱/۵۶
C ۲	قوس الکتریکی با الکترود فولادی	۶۰۰۸/۸۵
D ۱	اکسی استیلن با الکترود برنج	—
D ۲	اکسی استیلن با الکترود برنج	—

جدول ۹. مقاومت برشی نمونه‌های آزمون برش با ورق اصلی به ضخامت ۱۰ میلی‌متر.

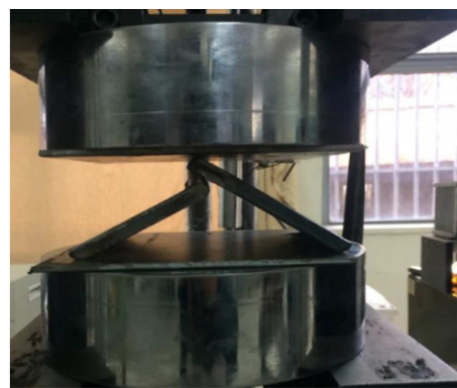
نمونه	فرایند جوشکاری و نوع الکترود	مقاومت کششی (kg/cm^2)
A ۱	اکسی استیلن با الکترود فسفر برنز	۲۱۱۵/۵۲
A ۲	اکسی استیلن با الکترود فسفر برنز	۲۱۲۰/۷۲
B ۱	قوس الکتریکی با الکترود فسفر برنز	۲۳۷۷/۵۰
B ۲	قوس الکتریکی با الکترود فسفر برنز	۲۱۶۸/۷۵
C ۱	قوس الکتریکی با الکترود فولادی	۴۳۴۰/۶۲
C ۲	قوس الکتریکی با الکترود فولادی	۴۰۹۰/۱۰
D ۱	اکسی استیلن با الکترود برنج	۱۴۱۷/۹۷
D ۲	اکسی استیلن با الکترود برنج	۱۶۵۱/۸۷

کاهش یافته است. با بررسی چشمی پس از آزمون نمونه‌ها، ملاحظه شد که در جوشکاری قوس الکتریکی با الکترود فسفر برنز، حباب‌های بسیار ریزی در داخل فلز جوش به وجود آمده است، که مقدار آنها در نمونه‌های با ضخامت ۸ میلی‌متر خیلی بیشتر از نمونه‌های ۳ و ۵ میلی‌متر بوده است. احتمال داده می‌شود که با توجه به شرایط کارگاه و تجهیزات جوشکاری، تنظیم جریان ترانسفورماتور برای ضخامت ۸ میلی‌متر مناسب نبوده است. احتمالاً در ضخامت‌های بالاتر شدت جریان بیشتری برای الکترود فسفر برنز لازم است؛ در حالی که با همان موقع جوش، جوشکاری با الکترود فولادی به راحتی و با سرعت و دقت بیشتری انجام شده است.

۲.۳. بررسی نتایج نمونه‌های آزمون جوش تحت برش

مطابق نتایج جدول‌های ۸ و ۹، مقاومت برشی جوش در نمونه‌های جوشکاری شده با الکترود فولادی و فرایند جوشکاری با قوس الکتریکی با افزایش ضخامت افزایش یافته است. از طرفی، نمونه‌های اخیر مقاومت برشی بیشتری نسبت به بقیه‌ی نمونه‌ها از خود نشان داده‌اند. بعد از آن نیز به ترتیب نمونه‌های B، A و D مقاومت برشی کمتری داشته‌اند.

جوشکاری با فرایند اکسی استیلن در ضخامت کمتر، بهتر عمل کرده و حتی جوش اکسی استیلن با برنج برای ضخامت ۲۰ میلی‌متر امکان پذیر نشده است. چون حرارت ایجاد شده توسط ورق‌های ضخیم از محل جوش انتقال پیدا کرده و حرارت کافی برای ایجاد حوضچه‌ی جوش فراهم نشده است. در شکل‌های ۲۱ الی ۲۳، مد خرابی غالب در نمونه‌های برشی مشاهده می‌شود. در تمامی مدل‌ها، لحظه‌ی رسیدن به حد نهایی مقاومت نمونه با ایجاد ترک در ریشه‌ی جوش شروع شده و با



شکل ۲۴. یکی از نمونه‌های خمی در هنگام شروع آزمایش.

لحاظ کیفیت جوش (با توجه به نمونه‌های خمی پس از شکستن) ملاحظه شد که جوش با قوس الکتریکی با الکترود فولادی کیفیت بالاتر دارد، زیرا خط جوش شکسته شده، یکنواخت و بدون حباب بوده است.

۲) جوش فسفر برنز طی آزمایش‌های انجام شده هم از لحاظ جوشکاری با اکسی استیلن و هم جوشکاری با قوس الکتریکی در رتبه‌ی دوم قرار دارد. علت این که در کشتی سازی، صنایع دریابی و در پیپ‌ها از جوش برنزی استفاده می‌کنند، این است که در عین حال که مقاومت قابل قبولی دارد، از لحاظ دوام و پایابی و همچنین مقاومت در برابر عوامل شیمیایی و آب دریا نسبت به سایر جوش‌ها برتری دارد.

۳) برای ضخامت‌های بیشتر از ۵ میلی‌متر، جوشکاری با اکسی استیلن اصل‌آ توصیه ننمی‌شود و جوشکاری اخیر فقط برای جوشکاری ورق‌های نازک به کار می‌رود. به دلیل این که به هیچ وجه هم از لحاظ زمانی و هم از نظر اقتصادی، برای جوشکاری قطعات ضخیم مناسب نیست و در ضخامت‌های بالاتر که در اسکلت‌های فولادی به کار می‌روند، امکان پذیر نیست؛ زیرا به علت انتقال سریع حرارت از طریق قطعات اصلی فولادی، امکان جوشکاری صحیح با اکسی استیلن وجود ندارد.

۴) در جوشکاری با اکسی استیلن، حتماً قطعات باید پیش‌گرمایش بیشتری داشته باشند.

۵) در نمونه‌های با ضخامت کوچک‌تر، هر چهار نوع جوشکاری بررسی شده، کیفیت جوش بهتری داشته‌اند.

۶) با تقریب قابل قبولی می‌توان مقاومت جوش در قوس الکتریکی با الکترود فولادی را در تمام ضخامت‌ها یکسان در نظر گرفت و از تأثیر ضخامت در مقاومت کششی جوش صرف نظر کرد.

۷) ضخامت قطعه، تأثیر قابل توجهی در کیفیت جوشکاری اکسی استیلن داشته است.

۴. نتیجه‌گیری

در پژوهش حاضر، مقاومت جوش تحت دو فرایند جوشکاری مختلف (قوس الکتریکی و اکسی استیلن) با سه الکترود متفاوت (مفتول برنجی، برنزی و فولادی) و ۳ حالت پارکنگاری کشش، برش و خمی بررسی شده است. در این راستا، ۲۴ نمونه‌ی کششی، ۱۴ نمونه‌ی برشی و ۸ نمونه‌ی خمی در کارگاه ساخته و به صورت آزمایشگاهی بررسی شده است. خلاصه‌ی نتایج به این شرح است:

۱) در همه‌ی نمونه‌ها، جوشکاری با قوس الکتریکی با الکترود فولادی مقاومت بیشتری هم از لحاظ کشش و هم از لحاظ برش نشان داده است. همچنین از

پانوشت‌ها

منابع (References)

1. heat affected zone
2. Haagensen
3. Zhang
4. Lin
5. Everett
6. Liao
7. Bodude & Momohjimoh
8. Switzner
9. Civjan
10. Cheng
11. tungsten inert gas
12. metal inert gas
13. Singh
14. Korzec
15. metal active gas

1. Arivazhagan, N., Singh, S., Prakash, S. and et al. "Investigation on AISI 304 austenitic stainless steel to AISI 4140 low alloy steel dissimilar joints by gas tungsten arc, electron beam and friction welding", *Materials and Design*, **32**(5), pp. 3036-3050 (2011).
2. Phanindra Reddy, M., Aldrin Sam William, S., Mohan Prashanth, M. and et al. "Assessment of mechanical properties of AISI 4140 and AISI 316 dissimilar weldments", *Procedia Engineering*, **75**, pp. 29-33 (2014).
3. Ahmadi, E. and Ebrahimi, A.R. "The effect of activating fluxes on 316L stainless steel weld joint characteristic in TIG welding using the taguchi method", *Advanced Materials and Processing*, **1**(1), pp. 55-62 (2013).

4. Haagensen, P.J., Statnikov, E.S. and Lopez-Martinez, L. "Introductory fatigue tests on welded joints in high strength steel and aluminium improved by various methods including ultrasonic impact treatment (UIT)", **16**, pp.16-19 (2002).
5. Zhang, H.T., Feng, J.C., He, P. and et al. "Interfacial microstructure and mechanical properties of aluminium-zinc-coated steel joints made by a modified metal inert gas welding-brazing process", *Materials Characterization*, **58**(7), pp. 588-592 (2007).
6. Lin, S.B., Song, J.L., Yang, C.L. and et al. "Brazability of dissimilar metals tungsten inert gas butt-welding-brazing between aluminum alloy and stainless steel with Al-Cu filler metal", *Materials and Design*, **31**(5), pp. 2637-2642 (2010).
7. Criss, E.M. and Meyers, M.A. "Braze welding of cobalt with a silver-copper filler", *Journal of Materials Research and Technology*, **44**(1), pp.44-59 (2015).
8. Liao , F., Wangb, W. and Chen, Y. "Ductile fracture prediction for welded steel connections under monotonic loading based on micromechanical fracture criteria", *Journal of Engineering Structures*, **94**, pp. 16-28 (2015).
9. Bodude, M. and Momohjimoh, I. "Studies on effects of welding parameters on the mechanical properties of welded low-carbon steel", *Journal of Minerals and Materials Characterization and Engineering*, **3**(03), pp. 142 (2015).
10. Switzner, N., Queiroz, V., Duerst, J. and et al. "Silicon bronze to 304 stainless steel GTA weld fusion zone microstructure and mechanical properties", *Materials Science and Engineering: A*, **709**, pp. 55-64 (2018).
11. Civjan, S., Guihan, T. and Peterman, K. "Testing of oxyacetylene weld strength", *Journal of Constructional Steel Research*, **168**, pp. 910-921 (2020).
12. Cheng, Z., Liu, H., Huang, J. and et al. "MIG-TIG double-sided arc welding of copper-stainless steel using different filler metals", *Journal of Manufacturing Processes*, **55**, pp. 208-219 (2020).
13. Singh, R.P., Kumar, S., Dubey, S. and et al. "A review on working and applications of oxy-acetylene gas welding", *Materials Today: Proceedings*, **38**, pp. 34-39 (2021).
14. Korzec, I., Lusiak, T. and Bugaj, M. "Tests of selected mechanical properties of welded joints in rotorcraft", *Transactions on Aerospace Research*, **1**(262), pp. 64-74 (2021).
15. ASTM, INT. ASTM E8/E8M, "Standard Testmethods for Tension Testing of Metallic Materials", pp. 1-27 (2016).
16. *Iranian Construction Welding Regulations*, Issue No. **228** (In persian).
17. Code-Steel, Structural Welding "AWS D1. 1/D1. 1M", *American Welding Society* (2020).